

# 軸方向鉄筋の破断防止に主眼を置いたRC柱の繰り返し曲げ変形特性について

岡崎市 正会員 ○亀田好洋 中部大学 正会員 水野英二

## 1. はじめに

一般に、繰り返し曲げを受ける鉄筋コンクリート(RC)柱の塑性ヒンジ部におけるポストピーク領域での耐荷特性として、内部コンクリートへの破壊進展ならびに軸方向鉄筋の座屈・破断が挙げられる<sup>1)</sup>。本研究では、軸方向鉄筋の破断防止<sup>2)</sup>に主眼を置くことによりRC供試体を作製し、二方向載荷状態下での繰り返し変形特性を実験的に検証した。

## 2. 供試体ならびに実験の概要

本研究では、軸方向鉄筋の破断を防止するため、コンクリートには鋼纖維コンクリート(体積比率1.5%混入)を使用し、RC柱ヒンジ部分の軸方向鉄筋とコンクリートとの間の付着を切ったSFRC供試体(4体:以降、UN-SFRCと称する。)を作製した。さらに、その効果を確認するために、普通コンクリートを用いたRC供試体(4体)を作製した。供試体の形状ならびに配筋の一例を図-1に示す。供試体は、断面寸法200×200 mm、有効高さ1000 mmとし、曲げ破壊先行型となるようにせん断スパン比を5に設定し、軸方向鉄筋にはD10(SD295A)を8本、横拘束筋にはD6(SD295A)を間隔s=65, 90, 105および120 mm(4水準)でそれぞれ配筋した。

写真-1に示す二方向載荷装置を用いて繰り返し実験を実施した。実験では、上部構造を想定して、軸力を累加軸耐力の5%とした。なお、載荷形態として、図-2に示すような矩形載荷を採用した。変位履歴は、

X方向およびY方向に交互に変位を<0→+4

$\delta_y \rightarrow -4\delta_y \rightarrow +8\delta_y \rightarrow -8\delta_y \rightarrow +8\delta_y \rightarrow -16\delta_y \rightarrow +16\delta_y \rightarrow 0$ の順に柱頂部に与えた。ここで、 $\delta_y$ は一方方向載荷での降伏変位であり、本実験では6 mmを採用した。なお、鉄筋およびコンクリートの材料定数を表-1に示す。

## 3. 実験結果および考察

### 3.1 荷重-変位関係

ここでは、鋼纖維コンクリートを採用し、軸方向鉄筋と鋼纖維コンクリートとの間の付着を切ることにより、UN-SFRC柱の軸方向鉄筋破断防止の効果を検証する。実験結果の一例として、矩形載荷下でのUN-SFRC柱とRC柱(s=65 mmおよびs=120 mm)の荷重-変位関係(XおよびY方向成分)を図-3および図-4に示す。図

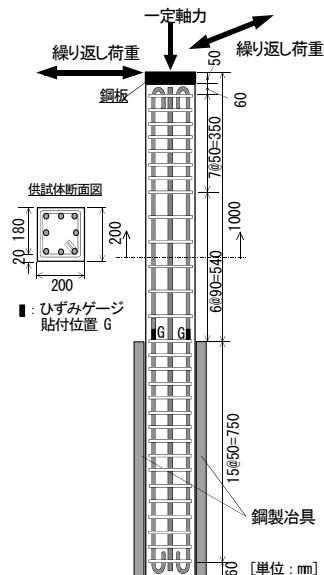


図-1 RC柱配筋図

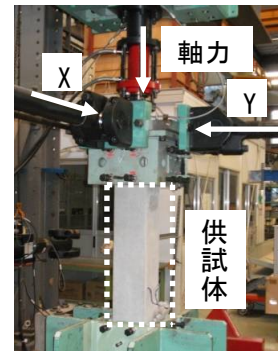


写真-1 載荷装置と供試体

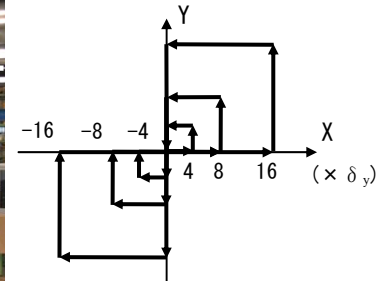


図-2 矩形載荷

供試体	横拘束筋間隔s [mm]	コンクリート設計圧縮強度f'ck = 40 MPa	軸方向鉄筋 D10 (SD295A)		横拘束筋 D6 (SD295A)		載荷軸力 [kN]
			降伏強度 [MPa]	引張強度 [MPa]	降伏強度 [MPa]	引張強度 [MPa]	
UN-SFRC柱	65,90, 105,120	48.8	401	598	443	591	106
RC柱	65,90, 105,120	48.0					104

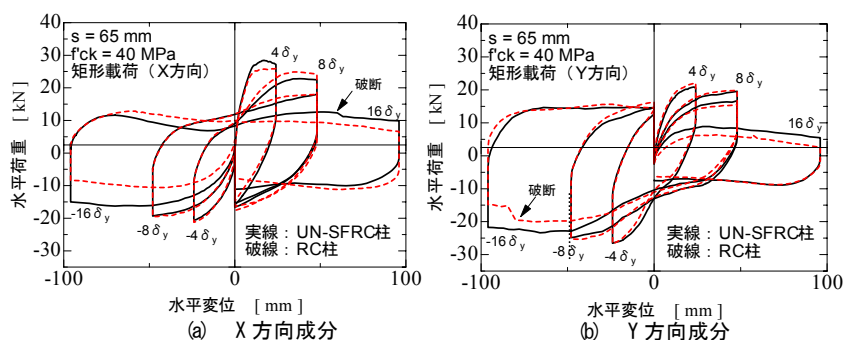


図-3 荷重-変位関係 (s = 65 mm)

中、実線はUN-SFRC柱の結果、破線はRC柱の結果を示す。両図から分かるように、 $\pm 8\delta_y$ までの変形挙動には大きな差異はないが、載荷履歴 $<8\delta_y \rightarrow -16\delta_y>$ 以降の変形挙動には以下のような特徴が見られる。(1)  $s = 65$  mmの場合、RC柱では、UN-SFRC柱よりも早い段階で軸方向鉄筋の破断が生じ、最終的には2本の軸方向鉄筋が破断した。(2)  $s = 120$  mmの場合、両供試体とも軸方向鉄筋の破断は生じないが、RC柱では、内部コンクリートの破壊により軸方向鉄筋のみの変形挙動を呈する。

### 3.2 累積吸収エネルギー

一例として、図-5にUN-SFRC柱とRC供試体( $s = 65$  mmおよび $s = 120$  mm)の累積吸収エネルギー量の比較を示す。両横拘束筋間隔の場合においても、UN-SFRC柱の方が $-16\delta_y$ 以降の載荷履歴では大きめのエネルギー吸収量を呈する傾向が見られた。

### 3.3 破壊状況

UN-SFRC柱とRC供試体( $s = 120$  mm)の大変位領域における載荷履歴 $<-8\delta_y \rightarrow 8\delta_y>$ の $8\delta_y$ 時の破壊状況(北西面)と載荷履歴 $<8\delta_y \rightarrow -16\delta_y>$ の $-16\delta_y$ 時の破壊状況(北西面)を一例として写真-2および写真-3に示す。

UN-SFRC柱では、北西面の軸方向鉄筋が見え始め(写真-2(a))、 $-16\delta_y$ 時には北面の被りコンクリートが剥落する程度の破壊状況である(写真-3(a))。一方、RC柱では、被りコンクリートが全ての面で大きく剥落し、軸方向鉄筋がむき出しになり(写真-2(b))、 $-16\delta_y$ 時には内部コンクリートまで破壊が進展する状況となる(写真-3(b))。

### 4.まとめ

- 1) 軸方向鉄筋と鋼纖維コンクリートとの間の付着を切ったUN-SFRC柱は、RC供試体と比べ、大変位領域にて高い吸収エネルギー能を示し、軸方向鉄筋の破断ならびに内部コンクリートの破壊も抑えることができる。
- 2) 鉄筋の破断を抑えることで大変位ポストピーク領域での柱耐力の急激な低下を抑えることを確認した。

**謝辞：**本研究を遂行するにあたり、平成25～27年度文部科学省科学研究費補助金（基盤研究(C) 25420493  
代表：水野英二）および中部大学特別研究費A（研究代表者：水野英二）を得た。ここに謝意を表す。

### 参考文献

- 1) 鈴木森晶・水野英二：載荷履歴の異なる二方向曲げ力を受ける鋼纖維補強コンクリート柱の変形性状に関する研究、土木学会論文集A2（応用力学）、Vol.68, No.2（応用力学論文集 Vol.14），I\_393-I\_402, 2012.
- 2) 川島一彦・細入圭介・庄司学・堺淳一：塑性ヒンジ区間で主鉄筋をアンボンドした鉄筋コンクリート橋脚の履歴特性、土木学会論文集、No.689/I-57, pp.45-64, 2001.10.

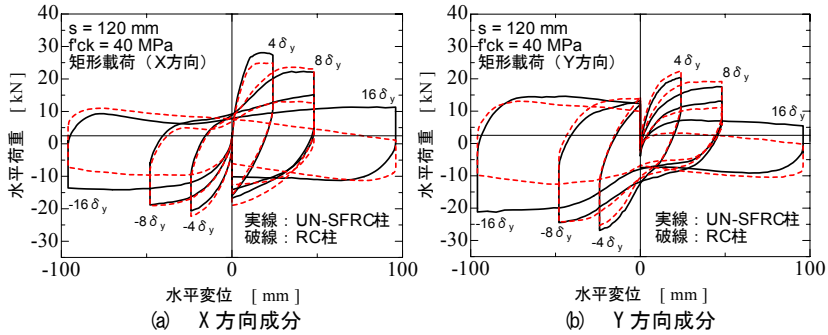


図-4 荷重一変位関係 ( $s = 120$  mm)

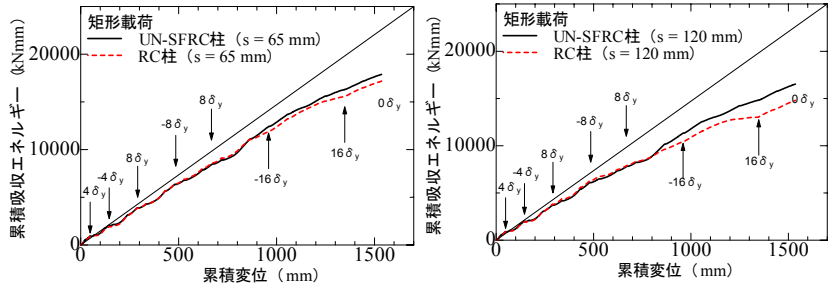


図-5 累積変位-累積吸収エネルギー関係



写真-2 載荷履歴 $<-8\delta_y \rightarrow 8\delta_y>$ の $8\delta_y$ 時の破壊状況 ( $s = 120$  mm: 北西面)



写真-3 載荷履歴 $<8\delta_y \rightarrow -16\delta_y>$ の $-16\delta_y$ 時の破壊状況 ( $s = 120$  mm: 北西面)